



AC ЭНЕРГИЯ

Тиристор низкочастотный

T743-320-65



Средний прямой ток				I_{TAV}	320 А							
Повторяющееся импульсное напряжение в закрытом состоянии				U_{DRM}	4600 - 6500 В							
Повторяющееся импульсное обратное напряжение				U_{RRM}								
Время выключения				t_q	800 мкс							
U_{DRM}, U_{RRM} , В	4600	4800	5000	5200	5400	5600	5800	6000	6200	6400	6500	
Класс по напряжению	46	48	50	52	54	56	58	60	62	64	65	
T_j , °C	$-60 \div 125$											

ПРЕДЕЛЬНО ДОПУСТИМЫЕ ЗНАЧЕНИЯ ПАРАМЕТРОВ

Обозначение и наименование параметра		Ед. изм.	Значение	Условия измерения	
Параметры в проводящем состоянии					
I_{TAV}	Средний ток в открытом состоянии	А	320 359 293	$T_c=79$ °C; двухстороннее охлаждение; $T_c=70$ °C; двухстороннее охлаждение; $T_c=85$ °C; двухстороннее охлаждение; 180 эл. град. синус; 50 Гц	
I_{TRMS}	Действующий ток в открытом состоянии	А	502	$T_c=79$ °C; двухстороннее охлаждение; 180 эл. град. синус; 50 Гц	
I_{TSM}	Ударный ток в открытом состоянии	кА	4.0 4.5	$T_j=T_{j\max}$ $T_j=25$ °C	180 эл. град. синус; $t_p=10$ мс; единичный импульс; $U_D=U_R=0$ В; Импульс управления: $I_G=2$ А; $t_{GP}=50$ мкс; $di_G/dt \geq 1$ А/мкс
			4.0 4.5	$T_j=T_{j\max}$ $T_j=25$ °C	180 эл. град. синус; $t_p=8.3$ мс; единичный импульс; $U_D=U_R=0$ В; Импульс управления: $I_G=2$ А; $t_{GP}=50$ мкс; $di_G/dt \geq 1$ А/мкс
I^2t	Защитный фактор	$A^2 \cdot 10^3$	80 100	$T_j=T_{j\max}$ $T_j=25$ °C	180 эл. град. синус; $t_p=10$ мс; единичный импульс; $U_D=U_R=0$ В; Импульс управления: $I_G=2$ А; $t_{GP}=50$ мкс; $di_G/dt \geq 1$ А/мкс
			60 80	$T_j=T_{j\max}$ $T_j=25$ °C	180 эл. град. синус; $t_p=8.3$ мс; единичный импульс; $U_D=U_R=0$ В; Импульс управления: $I_G=2$ А; $t_{GP}=50$ мкс; $di_G/dt \geq 1$ А/мкс

Блокирующие параметры				
U_{DRM} , U_{RRM}	Повторяющееся импульсное обратное напряжение и повторяющееся импульсное напряжение в закрытом состоянии	V	4600 - 6500	$T_j \min < T_j < T_j \max$; 180 эл. град. синус; 50 Гц; управление разомкнуто
U_{DSM} , U_{RSM}	Неповторяющееся импульсное обратное напряжение и неповторяющееся импульсное напряжение в закрытом состоянии	V	4700 - 6600	$T_j \min < T_j < T_j \max$; 180 эл. град. синус; единичный импульс; управление разомкнуто
U_D , U_R	Постоянное обратное и постоянное прямое напряжение	V	$0.6 \cdot U_{DRM}$ $0.6 \cdot U_{RRM}$	$T_j = T_j \max$; управление разомкнуто
Параметры управления				
I_{FGM}	Максимальный прямой ток управления	A	8	$T_j = T_j \max$
U_{RGM}	Максимальное обратное напряжение управления	V	5	
P_G	Максимальная рассеиваемая мощность по управлению	Вт	4	
Параметры переключения				
$(di_T/dt)_{crit}$	Критическая скорость нарастания тока в открытом состоянии ($f=1$ Hz)	A/мкс	500	$T_j = T_j \max$; $U_D = 0.67 \cdot U_{DRM}$; $I_{TM} = 1400$ A; Импульс управления: $I_G = 2$ A; $t_{GP} = 50$ мкс; $di_G/dt \geq 2$ A/мкс
Тепловые параметры				
T_{stg}	Температура хранения	°C	-60...+50	
T_j	Температура p-n перехода	°C	-60...+125	
Механические параметры				
F	Монтажное усилие	кН	14.0 - 16.0	
a	Ускорение	m/c^2	50	В зажатом состоянии

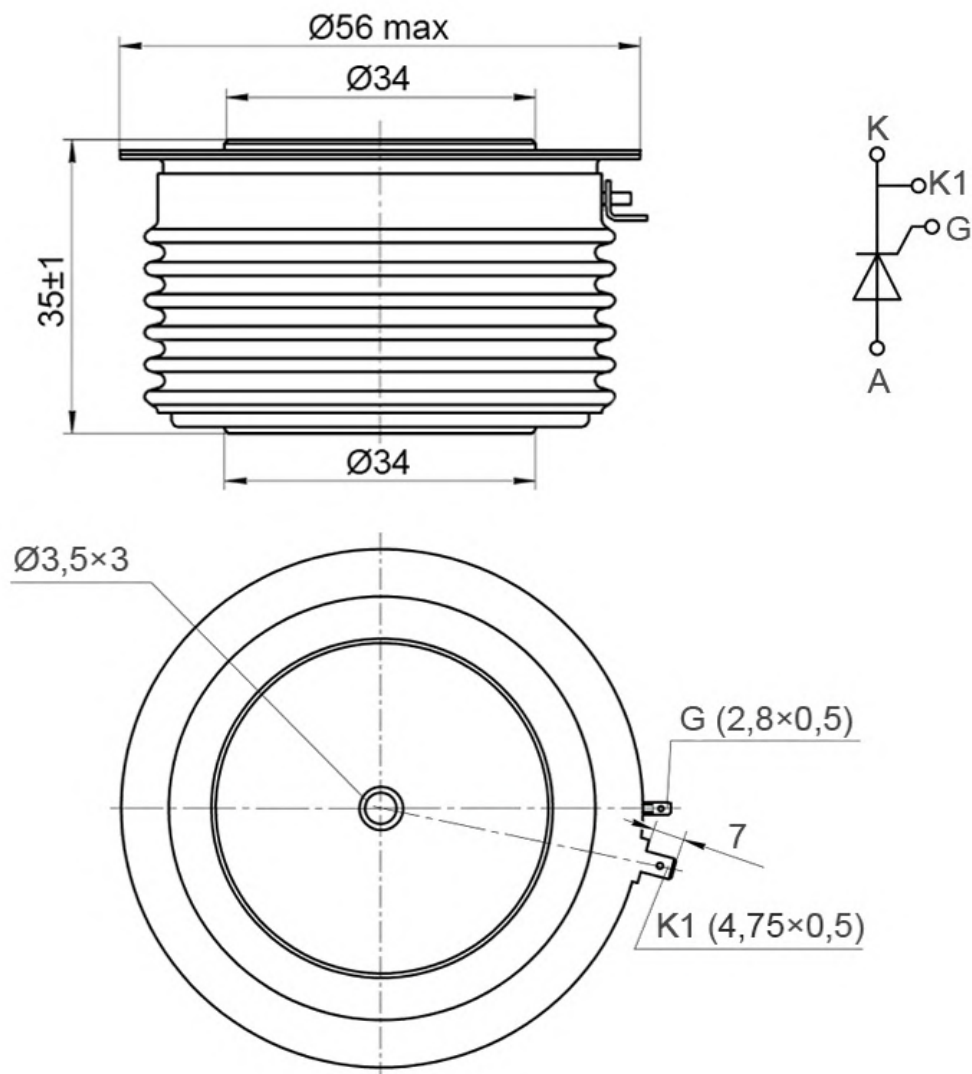
ХАРАКТЕРИСТИКИ

Обозначение и наименование характеристики	Ед. изм.	Значение	Условия измерения
Характеристики в проводящем состоянии			
U_{TM}	V	2.60	$T_j = 25$ °C; $I_{TM} = 785$ A
$U_{T(TO)}$	V	1.338	
r_T	МОм	2.351	$T_j = T_j \max$; 0.5 p $I_{TAV} < I_T < 1.5$ p I_{TAV}
I_L	mA	700	$T_j = 25$ °C; $U_D = 12$ V; Импульс управления: $I_G = 2$ A; $t_{GP} = 50$ мкс; $di_G/dt \geq 1$ A/мкс
I_H	mA	300	$T_j = 25$ °C; $U_D = 12$ V; управление разомкнуто
Блокирующие характеристики			
I_{DRM} , I_{RRM}	mA	150	$T_j = T_j \max$; $U_D = U_{DRM}$; $U_R = U_{RRM}$
$(du_D/dt)_{crit}$	V/мкс	1000, 1600, 2000, 2500	$T_j = T_j \max$; $U_D = 0.67 \cdot U_{DRM}$; управление разомкнуто

Характеристики управления						
U_{GT}	Отпирающее постоянное напряжение управления, макс	V	3.00 2.50 1.50	$T_j = T_{j \min}$ $T_j = 25^\circ C$ $T_j = T_{j \max}$	$U_D = 12 V; I_D = 3 A;$ Постоянный ток управления	
I_{GT}	Отпирающий постоянный ток управления, макс	mA	400 250 150	$T_j = T_{j \min}$ $T_j = 25^\circ C$ $T_j = T_{j \max}$		
U_{GD}	Неотпирающее постоянное напряжение управления, мин	V	0.25	$T_j = T_{j \max};$ $U_D = 0.67 \cdot U_{DRM};$	Постоянный ток управления	
I_{GD}	Неотпирающий постоянный ток управления, мин	mA	35.00			
Динамические характеристики						
t_{gd}	Время задержки включения, макс	мкс	3.00	$T_j = 25^\circ C; U_D = 1500 V; I_{TM} = I_{TAV};$ $di/dt = 200 A/\text{мкс};$ Импульс управления: $I_G = 2 A; U_G = 20 V;$ $t_{GP} = 50 \text{ мкс}; di_G/dt = 2 A/\text{мкс}$		
t_{gt}	Время включения, макс	мкс	10.00			
t_q	Время выключения ²⁾ , макс	мкс	800			
Q_{rr}	Заряд обратного восстановления, макс	мкКл	2600			
t_{rr}	Время обратного восстановления, макс	мкс	52			
I_{rrM}	Ток обратного восстановления, макс	A	100			
Тепловые характеристики						
R_{thjc}	Тепловое сопротивление р-п переход-корпус, макс	$^{\circ}\text{C}/\text{Вт}$	0.0450	Постоянный ток	Двухстороннее охлаждение	
R_{thjc-A}			0.0990		Охлаждение со стороны анода	
R_{thjc-K}			0.0810		Охлаждение со стороны катода	
R_{thck}	Тепловое сопротивление корпус-охладитель, макс	$^{\circ}\text{C}/\text{Вт}$	0.0075	Постоянный ток		
Механические характеристики						
w	Масса, не более	г	400			
D_s	Длина пути тока утечки по поверхности	мм (дюйм)	38.00 (1.496)			
D_a	Длина пути тока утечки по воздуху	мм (дюйм)	21.00 (0.827)			

ГАБАРИТНЫЕ РАЗМЕРЫ

Тип корпуса: Т.С5



К – катод;

Все размеры в миллиметрах

А – анод;

К1 – вспомогательный катод;

Г – управляющий электрод;

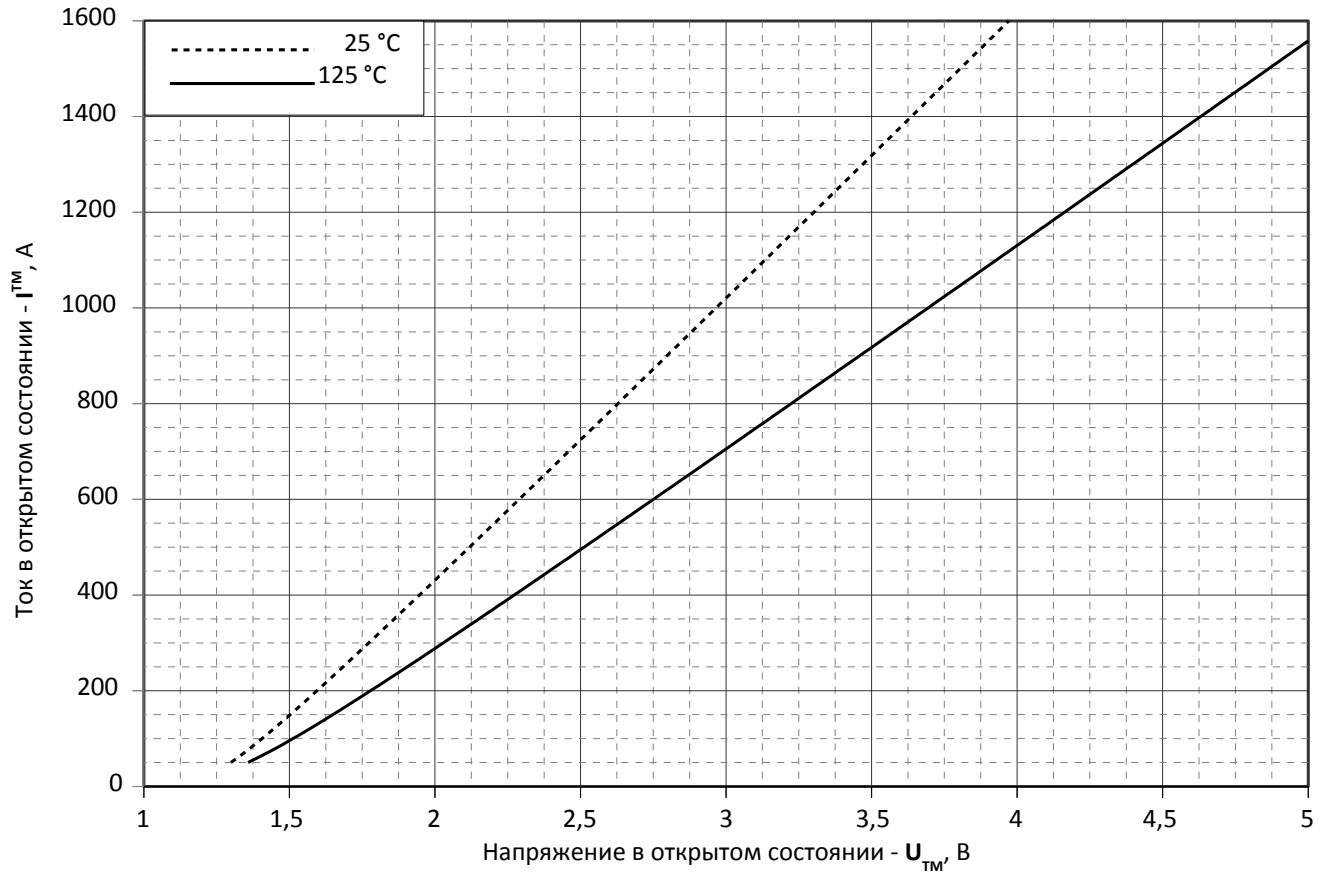


Рис. 1 – Предельная вольт – амперная характеристика

Аналитическая функция предельной вольт — амперной характеристики:

$$V_T = A + B \cdot i_T + C \cdot \ln(i_T + 1) + D \cdot \sqrt{i_T}$$

	Коэффициенты для графика	
	$T_j = 25^{\circ}\text{C}$	$T_j = T_{j\max}$
A	1.0573210	0.9806394
B	0.0016740	0.0023475
C	0.0441791	0.0745885
D	-0.0022481	-0.0047270

Модель предельной вольт – амперной характеристики (см. Рис. 1)

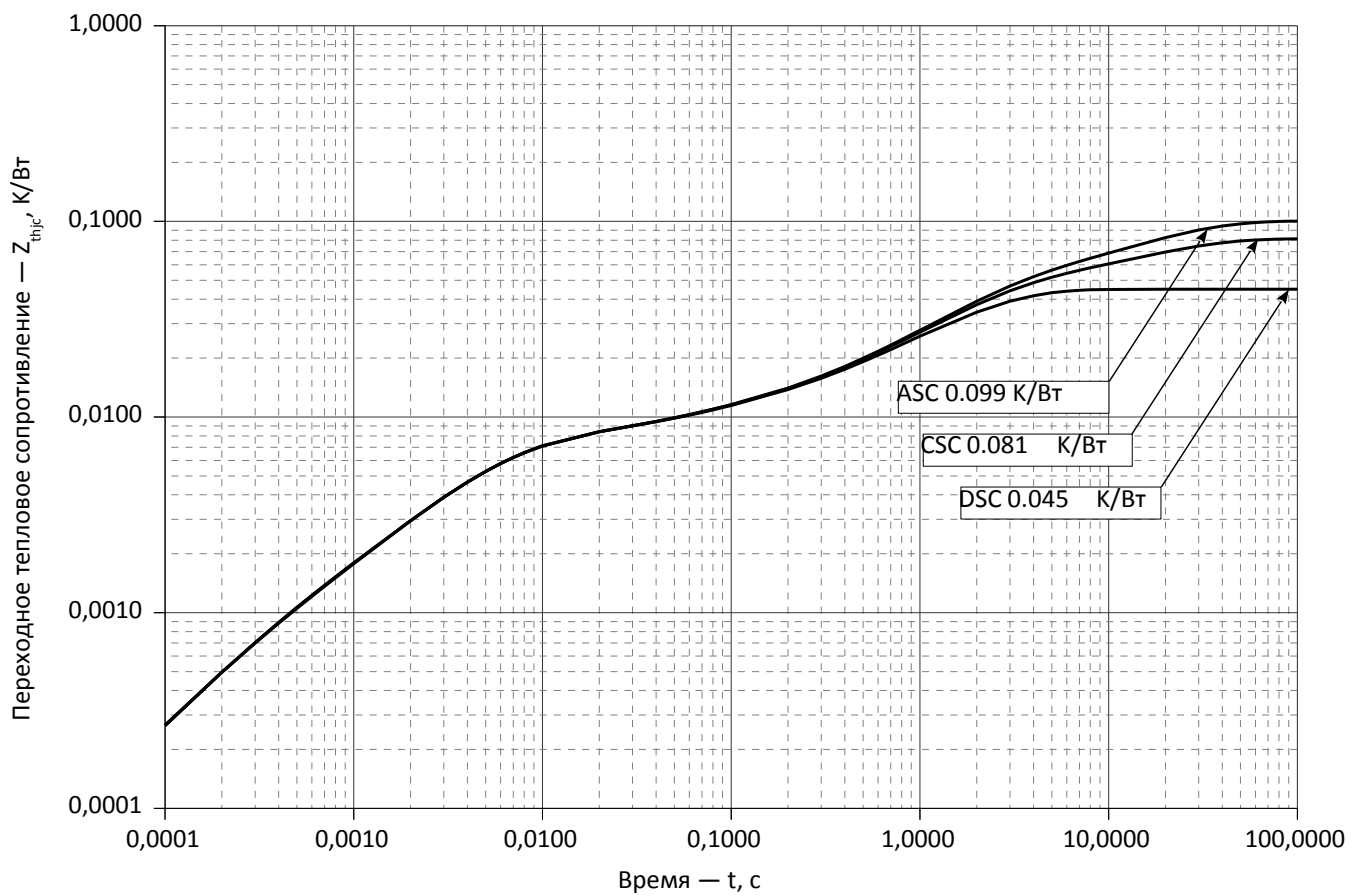


Рис. 2 – Зависимость переходного теплового сопротивления Z_{thjc} от времени t

Аналитическая зависимость переходного теплового сопротивления переход — корпус:

$$Z_{thjc} = \sum_{i=1}^n R_i \left(1 - e^{-\frac{t}{\tau_i}} \right)$$

Где $i = 1$ to n , n – число суммирующихся элементов.

t = продолжительность импульсного нагрева в секундах.

Z_{thjc} = Тепловое сопротивление за время t .

R_i, t_i = расчетные коэффициенты, приведенные в таблице.

Постоянный ток, двустороннее охлаждение

i	1	2	3	4	5	6
$R_i, K/Bt$	0.0003324	0.003816	0.00345	0.002093	0.001185	0.03412
t_i, c	0.0002588	0.003593	0.006835	0.06337	0.4078	1.714

Постоянный ток, охлаждение со стороны анода

i	1	2	3	4	5	6
$R_i, K/Bt$	0.0004076	0.006732	0.001746	0.001465	0.03471	0.05539
t_i, c	0.0003146	0.004563	0.03539	0.1651	1.871	17.71

Постоянный ток, охлаждение со стороны катода

i	1	2	3	4	5	6
$R_i, K/Bt$	0.0004152	0.006772	0.001903	0.001399	0.03451	0.03653
t_i, c	0.0003214	0.004599	0.03962	0.2053	1.810	17.69

Модель переходного теплового сопротивления переход - корпус (см. Рис. 2)

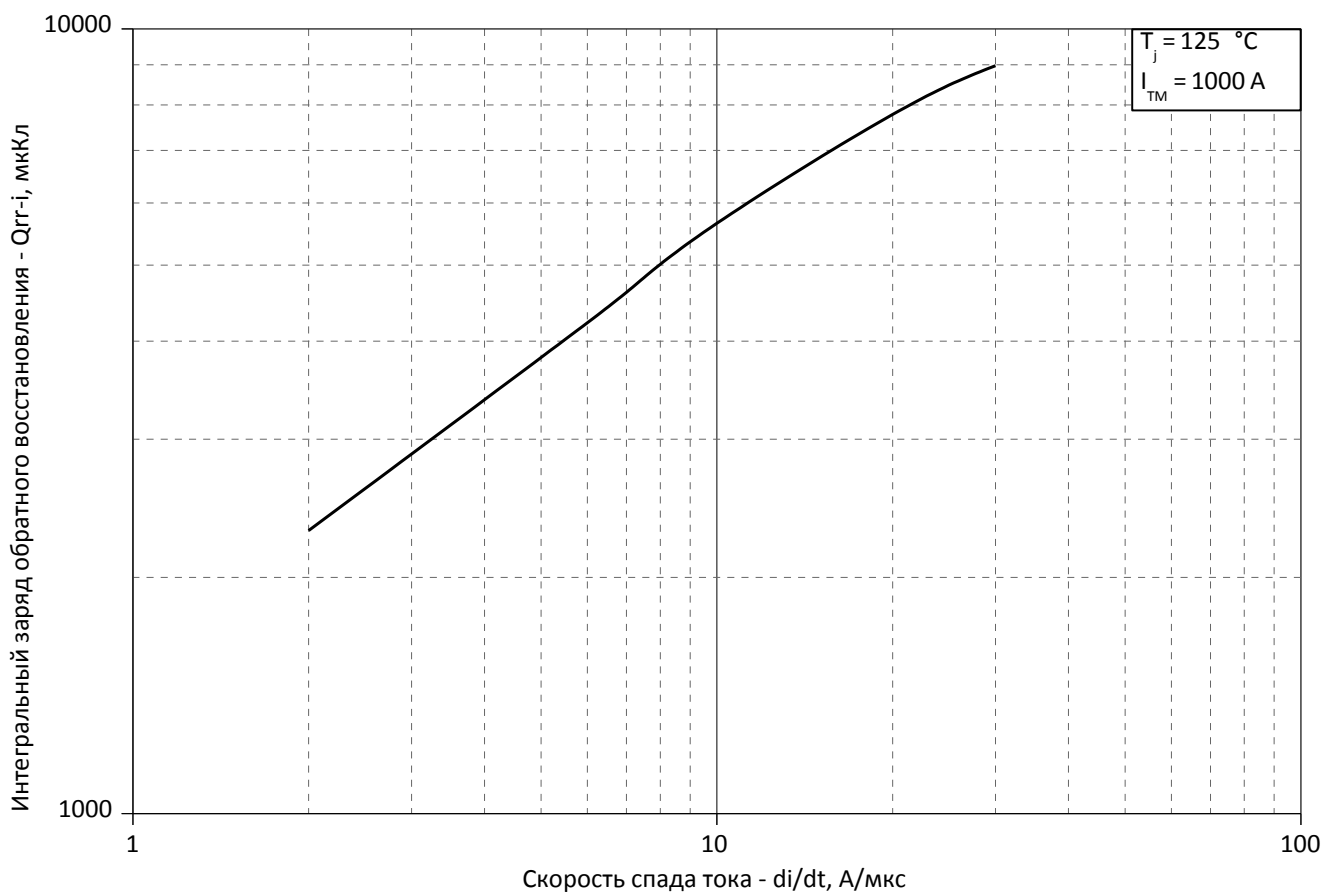


Рис. 3 – Зависимость максимального интегрального заряда обратного восстановления Q_{rr-i} от скорости спада тока di_R/dt в открытом состоянии

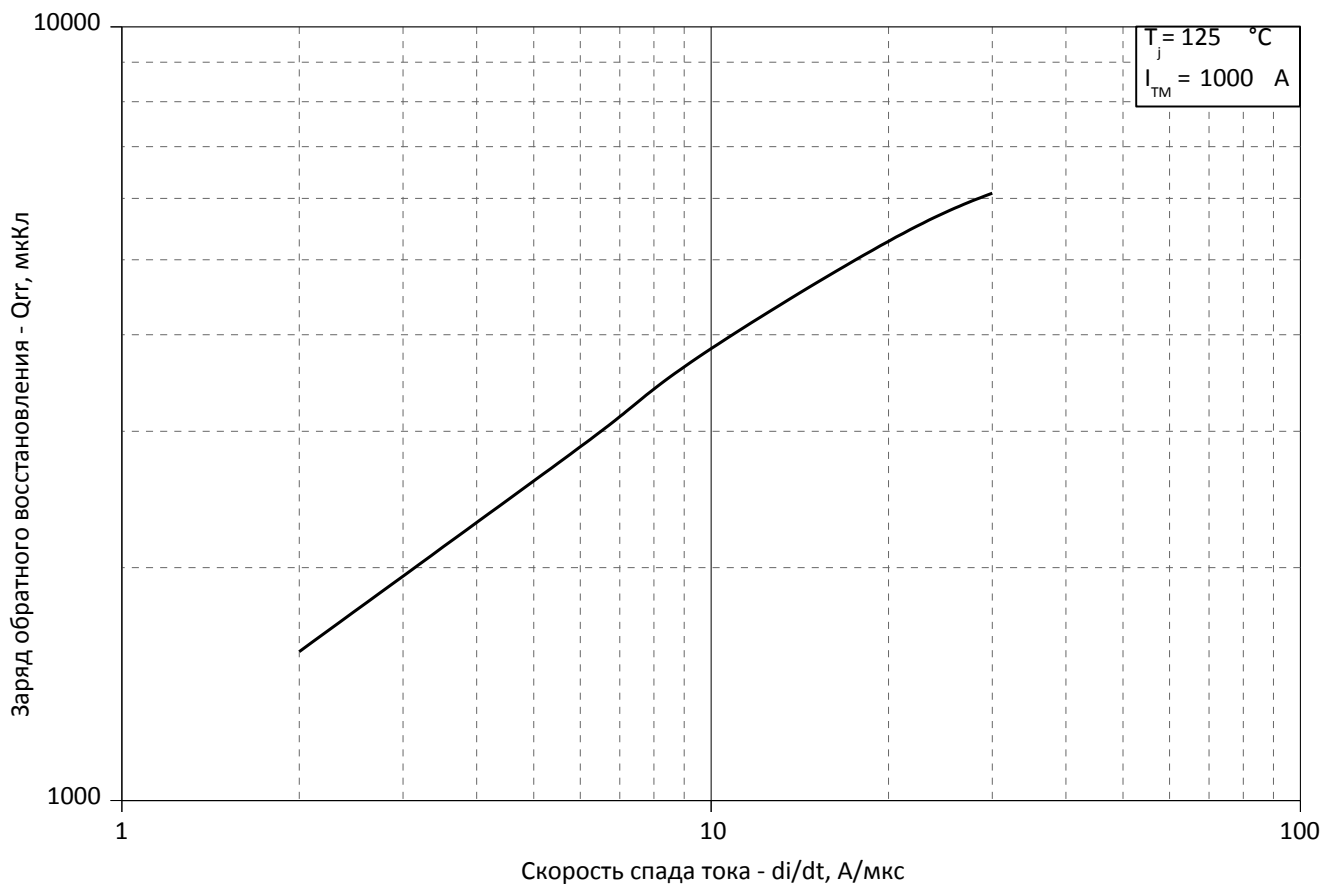


Рис. 4 – Зависимость максимального заряда обратного восстановления Q_{rr} от скорости спада тока di_R/dt (по ГОСТ 24461, хорда 25%) в открытом состоянии

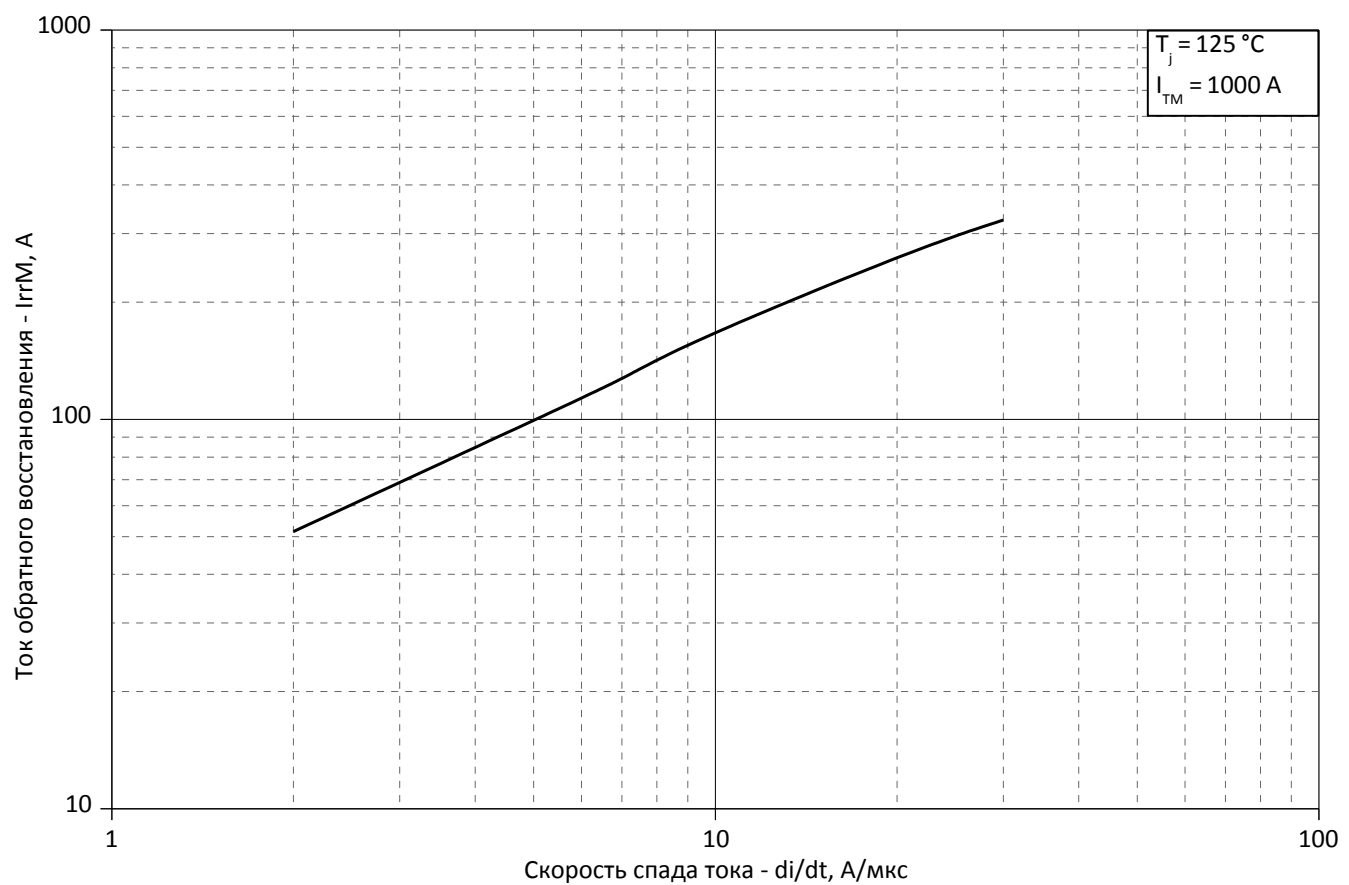


Рис. 5 – Зависимость максимального тока обратного восстановления I_{rrM} от скорости спада тока di_R/dt в открытом состоянии

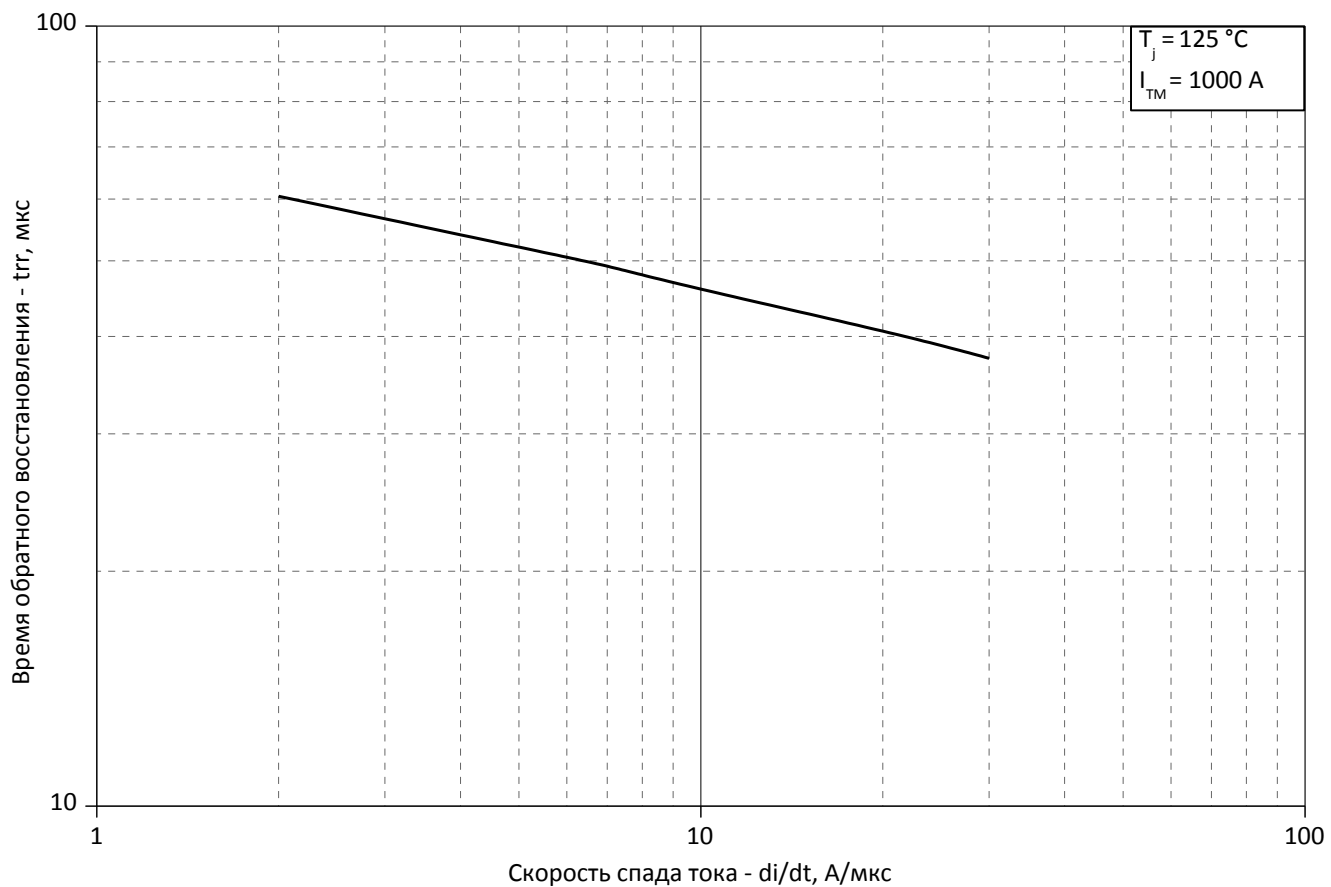


Рис. 6 - Зависимость максимального времени обратного восстановления t_{rr} от скорости спада тока di_R/dt (по ГОСТ 24461, хорда 25%) в открытом состоянии

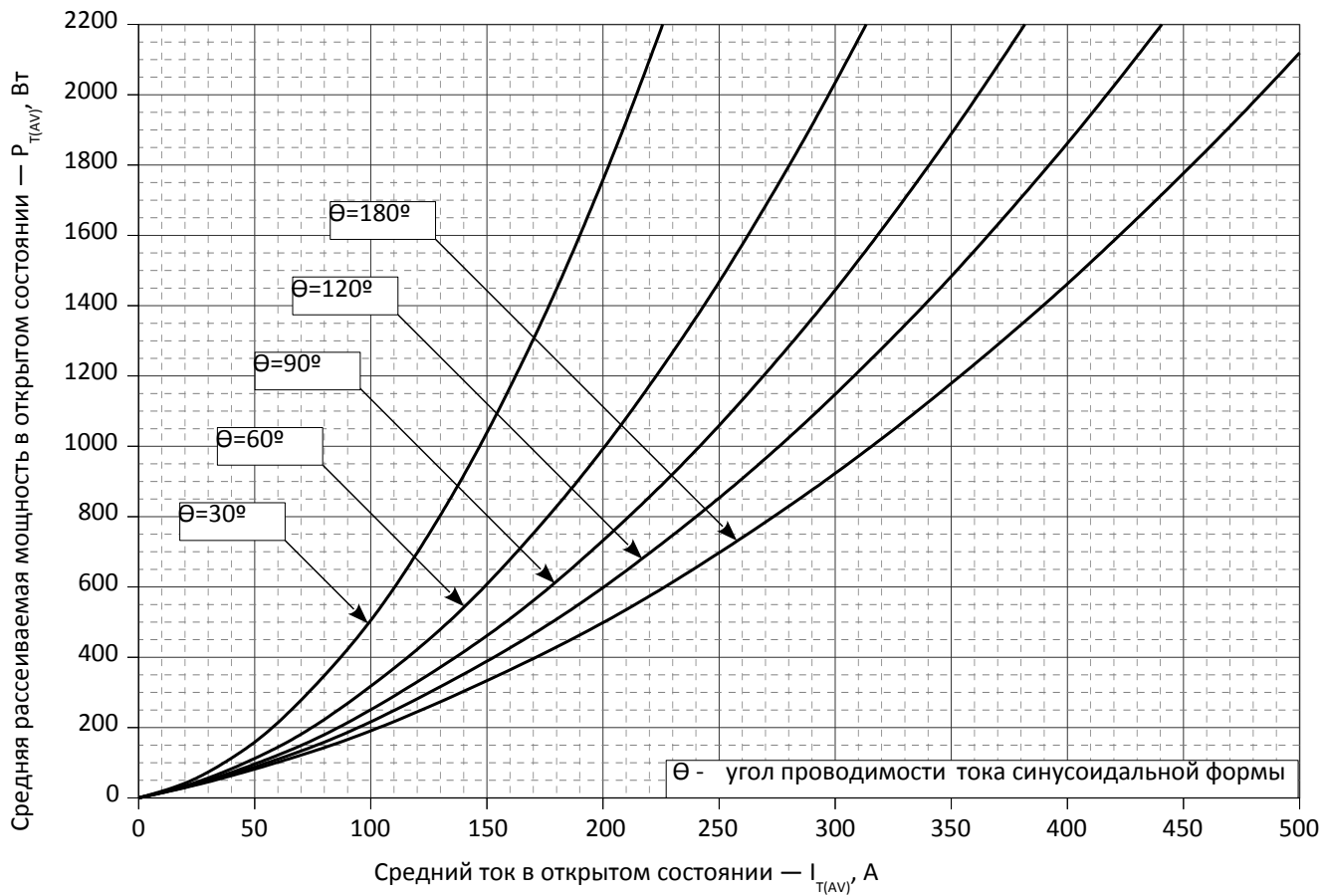


Рис. 7 - Зависимость потерь мощности P_{TAV} от среднего тока в открытом состоянии I_{TAV} синусоидальной формы при различных углах проводимости ($f=50$ Гц, двустороннее охлаждение)

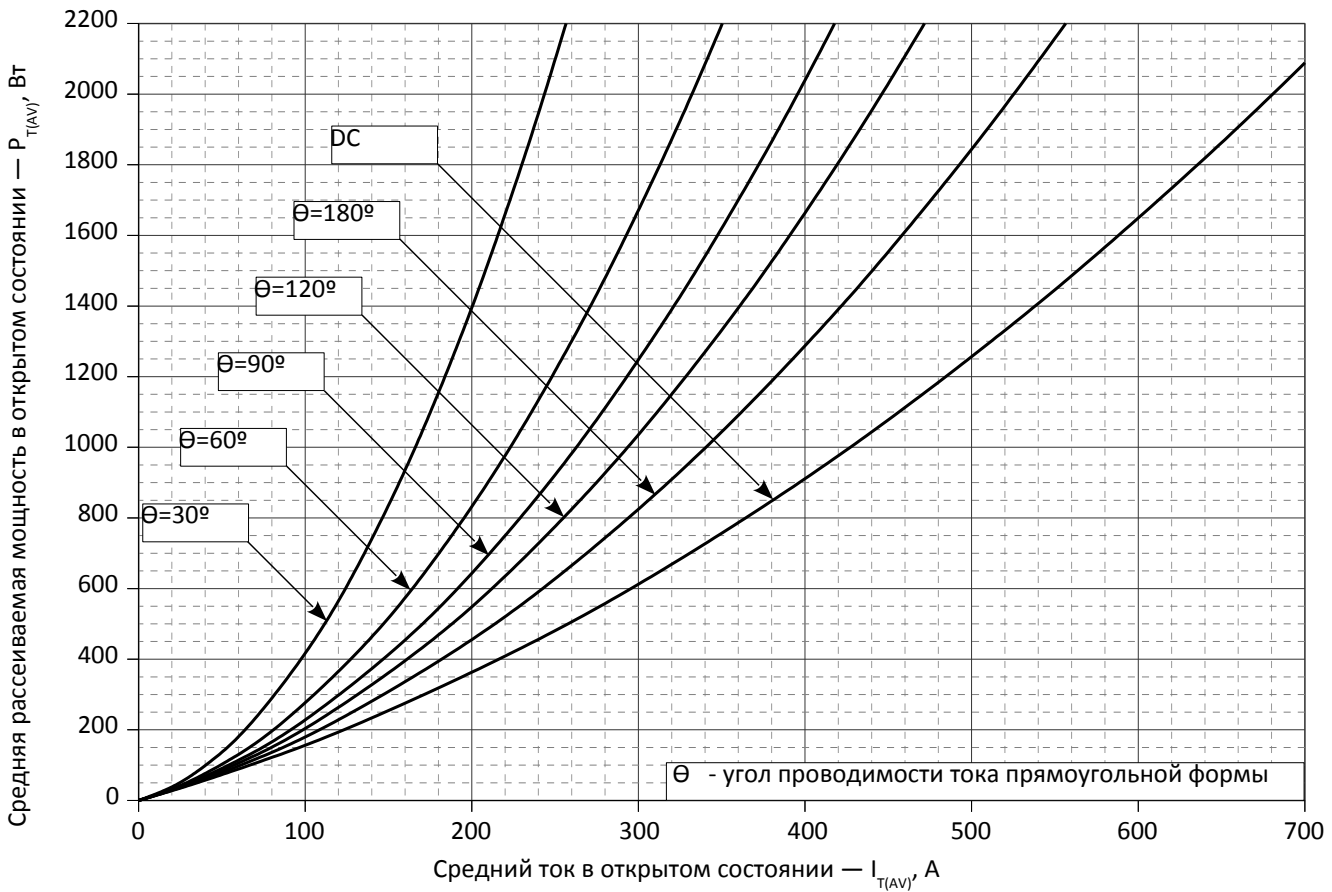


Рис. 8 – Зависимость потерь мощности P_{TAV} от среднего тока в открытом состоянии I_{TAV} прямоугольной формы при различных углах проводимости ($f=50$ Гц, двустороннее охлаждение)

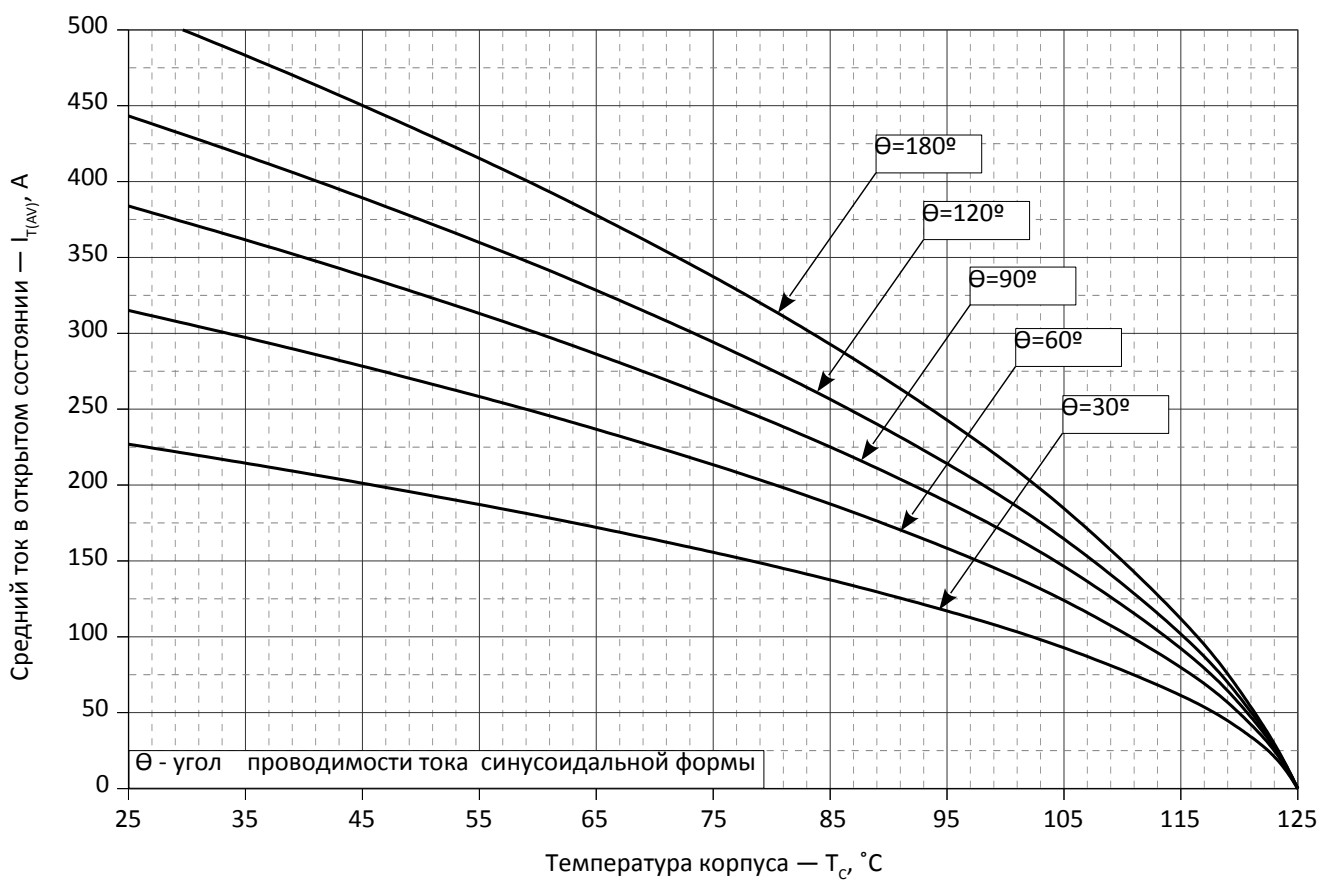


Рис. 9 – Зависимость среднего тока в открытом состоянии I_{TAV} от температуры корпуса T_c для синусоидальной формы тока при различных углах проводимости ($f=50$ Гц, Двустороннее охлаждение)

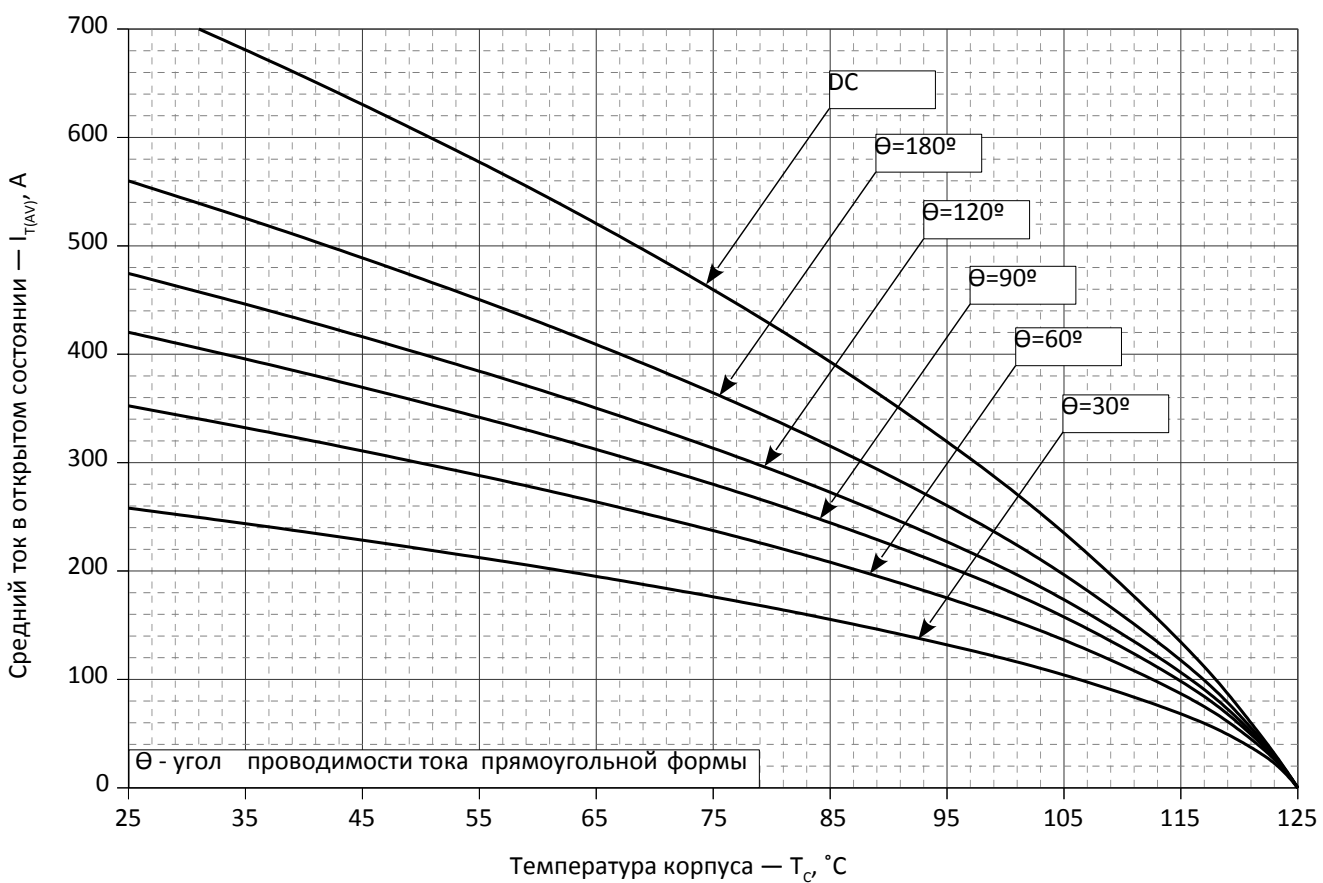


Рис. 10 - Зависимость среднего тока в открытом состоянии I_{TAV} от температуры корпуса T_c для прямоугольной формы тока при различных углах проводимости ($f=50$ Гц, Двустороннее охлаждение)

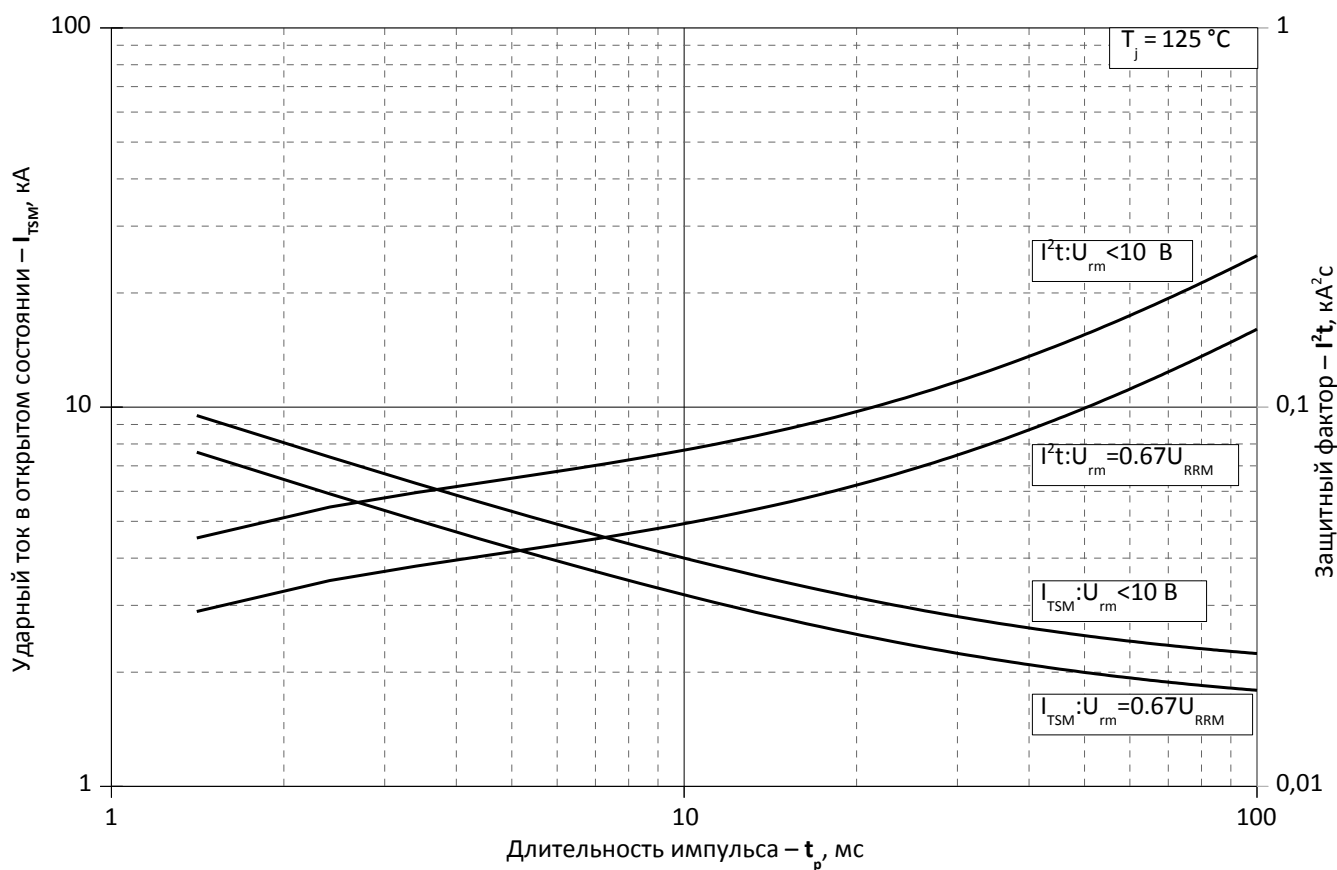


Рис. 11 – Зависимость максимальной амплитуды ударного тока в открытом состоянии I_{TSM} и защитного фактора I^2t от длительности импульса t_p

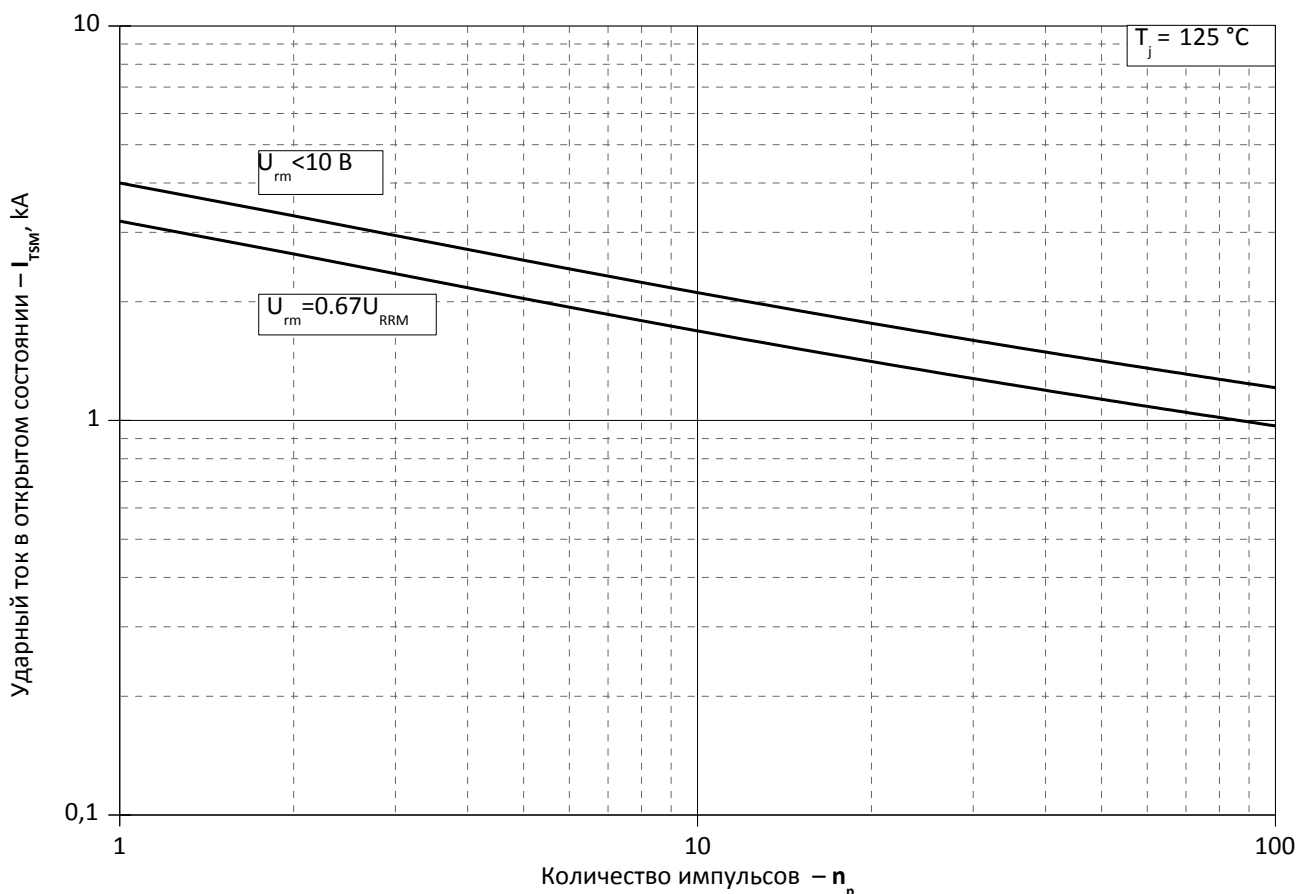


Рис. 12 – Зависимость максимальной амплитуды ударного тока в открытом состоянии I_{TSM} от количества импульсов n_p